

Starkniederschlagshöhen und -spenden gemäß KOSTRA-DWD-2010R

Auswertungszeitraum von 1951 - 2010, Januar - Dezember

Rasterfeld: 43005

Zeile: 43

Spalte: 5

Seite: 1/2

| Dauerstufe D | | Wiederkehrzeit T | | | | | | | | | | | | | | | | | |
|--------------|-----|------------------|------------|------|------------|------|------------|------|------------|------|------------|------|------------|------|------------|------|------------|-------|------------|
| | | 1 a | | 2 a | | 3 a | | 5 a | | 10 a | | 20 a | | 30 a | | 50 a | | 100 a | |
| min | Std | mm | l / (s ha) | mm | l / (s ha) | mm | l / (s ha) | mm | l / (s ha) | mm | l / (s ha) | mm | l / (s ha) | mm | l / (s ha) | mm | l / (s ha) | mm | l / (s ha) |
| 5 | | 4,6 | 153,3 | 6,0 | 200,0 | 6,8 | 226,7 | 7,7 | 256,7 | 9,1 | 303,3 | 10,4 | 346,7 | 11,2 | 373,3 | 12,1 | 403,3 | 13,5 | 450,0 |
| 10 | | 7,3 | 121,7 | 9,1 | 151,7 | 10,1 | 168,3 | 11,4 | 190,0 | 13,2 | 220,0 | 15,0 | 250,0 | 16,0 | 266,7 | 17,3 | 288,3 | 19,1 | 318,3 |
| 15 | | 9,1 | 101,1 | 11,2 | 124,4 | 12,4 | 137,8 | 14,0 | 155,6 | 16,0 | 177,8 | 18,1 | 201,1 | 19,4 | 215,6 | 20,9 | 232,2 | 23,0 | 255,6 |
| 20 | | 10,3 | 85,8 | 12,7 | 105,8 | 14,1 | 117,5 | 15,8 | 131,7 | 18,2 | 151,7 | 20,5 | 170,8 | 21,9 | 182,5 | 23,6 | 196,7 | 26,0 | 216,7 |
| 30 | | 12,0 | 66,7 | 14,8 | 82,2 | 16,4 | 91,1 | 18,4 | 102,2 | 21,2 | 117,8 | 24,0 | 133,3 | 25,6 | 142,2 | 27,7 | 153,9 | 30,5 | 169,4 |
| 45 | | 13,4 | 49,6 | 16,7 | 61,9 | 18,6 | 68,9 | 21,0 | 77,8 | 24,3 | 90,0 | 27,6 | 102,2 | 29,6 | 109,6 | 32,0 | 118,5 | 35,3 | 130,7 |
| 60 | | 14,2 | 39,4 | 17,9 | 49,7 | 20,1 | 55,8 | 22,8 | 63,3 | 26,6 | 73,9 | 30,3 | 84,2 | 32,4 | 90,0 | 35,2 | 97,8 | 38,9 | 108,1 |
| 90 | | 15,6 | 28,9 | 19,5 | 36,1 | 21,7 | 40,2 | 24,6 | 45,6 | 28,5 | 52,8 | 32,4 | 60,0 | 34,7 | 64,3 | 37,6 | 69,6 | 41,5 | 76,9 |
| 120 | 2 | 16,6 | 23,1 | 20,6 | 28,6 | 23,0 | 31,9 | 26,0 | 36,1 | 30,0 | 41,7 | 34,0 | 47,2 | 36,4 | 50,6 | 39,3 | 54,6 | 43,4 | 60,3 |
| 180 | 3 | 18,2 | 16,9 | 22,4 | 20,7 | 24,9 | 23,1 | 28,0 | 25,9 | 32,2 | 29,8 | 36,4 | 33,7 | 38,9 | 36,0 | 42,0 | 38,9 | 46,3 | 42,9 |
| 240 | 4 | 19,4 | 13,5 | 23,8 | 16,5 | 26,3 | 18,3 | 29,5 | 20,5 | 33,9 | 23,5 | 38,3 | 26,6 | 40,8 | 28,3 | 44,1 | 30,6 | 48,4 | 33,6 |
| 360 | 6 | 21,2 | 9,8 | 25,8 | 11,9 | 28,5 | 13,2 | 31,9 | 14,8 | 36,5 | 16,9 | 41,0 | 19,0 | 43,7 | 20,2 | 47,1 | 21,8 | 51,7 | 23,9 |
| 540 | 9 | 23,3 | 7,2 | 28,1 | 8,7 | 30,9 | 9,5 | 34,4 | 10,6 | 39,2 | 12,1 | 44,0 | 13,6 | 46,8 | 14,4 | 50,4 | 15,6 | 55,2 | 17,0 |
| 720 | 12 | 24,8 | 5,7 | 29,8 | 6,9 | 32,7 | 7,6 | 36,4 | 8,4 | 41,3 | 9,6 | 46,3 | 10,7 | 49,2 | 11,4 | 52,9 | 12,2 | 57,8 | 13,4 |
| 1080 | 18 | 27,2 | 4,2 | 32,4 | 5,0 | 35,4 | 5,5 | 39,3 | 6,1 | 44,5 | 6,9 | 49,7 | 7,7 | 52,8 | 8,1 | 56,6 | 8,7 | 61,8 | 9,5 |
| 1440 | 24 | 29,0 | 3,4 | 34,4 | 4,0 | 37,5 | 4,3 | 41,5 | 4,8 | 46,9 | 5,4 | 52,3 | 6,1 | 55,4 | 6,4 | 59,4 | 6,9 | 64,8 | 7,5 |
| 2880 | 48 | 36,4 | 2,1 | 42,5 | 2,5 | 46,1 | 2,7 | 50,6 | 2,9 | 56,7 | 3,3 | 62,8 | 3,6 | 66,3 | 3,8 | 70,8 | 4,1 | 76,9 | 4,5 |
| 4320 | 72 | 41,6 | 1,6 | 48,1 | 1,9 | 51,9 | 2,0 | 56,7 | 2,2 | 63,3 | 2,4 | 69,8 | 2,7 | 73,6 | 2,8 | 78,4 | 3,0 | 84,9 | 3,3 |

Angaben in mm: Bemessungsniederschlagswerte h(n)

Angaben in l / (s ha): Regenspende R(n) mit $R(n) = h(n) \times 1,666667 / D[\text{min}]$

Toleranzbereiche:

+/- 10 % für $1 \text{ a} \leq T \leq 5 \text{ a}$

+/- 15 % für $5 \text{ a} < T \leq 50 \text{ a}$

+/- 20 % für $50 \text{ a} < T \leq 100 \text{ a}$

Datenbasis: KOSTRA-DWD-2010R des Deutschen Wetterdienstes. Die Regenspende wurde auf Basis des Bemessungsniederschlags zur jeweiligen Andauer berechnet.

Für die Richtigkeit und Aktualität der Angaben wird keine Gewähr übernommen. Erstellt 07/2022.

Starkniederschlagshöhen und -spenden gemäß KOSTRA-DWD-2010R

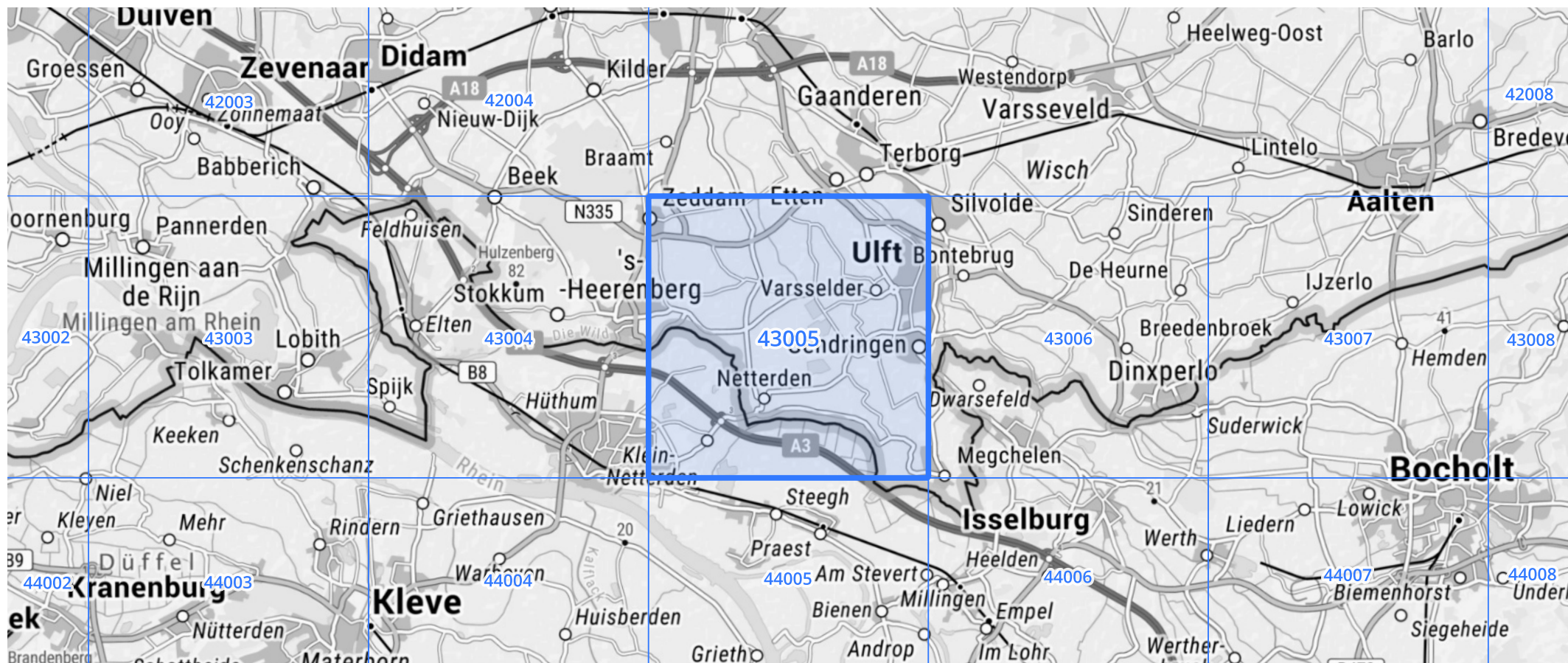
Auswertungszeitraum von 1951 - 2010, Januar - Dezember

Rasterfeld: 43005

Zeile: 43

Spalte: 5

Seite: 2/2



Quelle Rasterdaten: KOSTRA-DWD-2010R des Deutschen Wetterdienstes.

Kartendarstellung: © Bundesamt für Kartographie und Geodäsie (2022), Datenquellen: https://sgx.geodatenzentrum.de/web_public/gdz/datenquellen/Datenquellen_TopPlusOpen.html

Für die Richtigkeit und Aktualität der Angaben wird keine Gewähr übernommen. Erstellt 07/2022.